

УДК 537.635:537.611.43

©1995

## ОСОБЕННОСТИ СПИН-РЕШЕТОЧНОЙ РЕЛАКСАЦИИ ИОНОВ $\text{Yb}^{3+}$ В ФОСФАТНЫХ СТЕКЛАХ

*В.С.Вихнин, И.А.Громов, С.Б.Орлинский,  
Р.М.Рахматуллин, Ю.К.Розенцвайг*

Казанский государственный университет  
(Поступила в Редакцию 22 ноября 1993 г.  
В окончательной редакции 16 января 1995 г.)

Представлены результаты экспериментального и теоретического исследования температурных, концентрационных и размерных зависимостей скорости спин-решеточной релаксации ионов  $\text{Yb}^{3+}$  в фосфатных стеклах методом электронного спинового эха. Предложена модель спин-решеточной релаксации, позволившая объяснить эксперимент на основе учета особенностей стекольного состояния.

В неорганических стеклах спектральная плотность колебательных состояний в низкоэнергетической области имеет две особенности, отличающие ее от дебаевского спектра. При энергиях меньше 1 К плотность колебательных состояний постоянна, а в области энергий 3–15 К превышает дебаевскую в 2–6 раз. Первая особенность объясняется общепринятой моделью двухуровневых центров, природа второй до конца неясна. Однако в разработанных моделях [1] предполагается, что эта особенность обусловлена колебательными возбуждениями, локализованными на масштабах 1–2 нм и несущими информацию о структуре стекол. Можно предположить, что локализованные колебательные возбуждения должны проявиться в спин-решеточной релаксации (CPP) примесных парамагнитных ионов в стеклах [2,3]. Однако в экспериментальных исследованиях CPP [4–6] это не установлено.

В данной статье представлены результаты исследования CPP ионов  $\text{Yb}^{3+}$  в фосфатном стекле (ФС). Отметим, что этот объект изучался ранее методом электронного спинового эха (ЭСЭ) [7], однако основная цель [7] заключалась в том, чтобы показать информативность метода ЭСЭ для исследования стекол. Существенных особенностей CPP, присущих стеклу, отмечено не было. Цель данной работы состояла в том, чтобы определить возможные аномалии прямых и рамановских процессов CPP, обусловленные особенностями строения стекла, и установить влияние локализованных колебаний на CPP.

Эксперименты проводились методом ЭСЭ, который более эффективен для измерений времен CPP в активированных стеклах, чем традиционный метод импульсного насыщения переходов стационарного

ЭПР. Основная причина этого заключается в том, что метод ЭСЭ позволяет спектрально селективно изучать спиновые пакеты неоднородно уширенных линий ЭПР редкоземельных элементов в стеклах и исследовать их динамику.

Исследовались ФС состава  $75\text{P}_2\text{O}_5 \cdot 25\text{La}_2\text{O}_3$ , содержание иттербия варьировалось путем замещения  $\text{La}_2\text{O}_3$  на  $\text{Yb}_2\text{O}_3$  следующих в концентрациях  $x$  (mol.%): I — 0.03, II — 0.1, III — 0.3. Образцы были синтезированы в ВНИ «ГОИ им. Вавилова» (С.-Петербург).

Редкоземельные ионы  $\text{Yb}^{3+}$  являются удобным парамагнитным зондом при изучении прямых и рамановских процессов CPP. Орбаховские процессы CPP обычно неэффективны, так как энергия первого возбужденного дублета иона  $\text{Yb}^{3+}$ , как правило, довольно велика. Электронная конфигурация незаполненной оболочки иона  $\text{Yb}^{3+} - 4f^{13}$ , основное состояние  $^2F_{7/2}$  расщепляется электрическим полем матрицы на четыре крамерсовых дублета. Структура штарковских уровней основного терма иона  $\text{Yb}^{3+}$  в ФС предложена в [8] из анализа оптических спектров. Энергии возбужденных уровней нижайшего терма составляют  $\sim 238; 464; 780 \text{ cm}^{-1}$ . Авторы [8] сделали вывод об искаженном октаэдрическом окружении редкоземельного иона. Исследования спектров ЭПР методом ЭСЭ [9] согласуются с этим выводом.

## 1. Экспериментальные результаты

Измерения времен CPP  $T_1$  проведены на спектрометре ЭСЭ с рабочей частотой 9.4 GHz и временным разрешением  $10^{-7}$  s в температурном интервале 1.6–7 K. Для устранения возможного нагрева образца некоторые измерения были проведены в среде жидкого гелия.

Спектр ЭПР ионов  $\text{Yb}^{3+}$ , измеренный с помощью двухимпульсного ЭСЭ, показан на рис. 1. На графике представлены спектры ЭПР, нормированные к максимальной амплитуде эха. Принадлежность линии ЭПР ионам иттербия доказывается изменением ее интенсивности

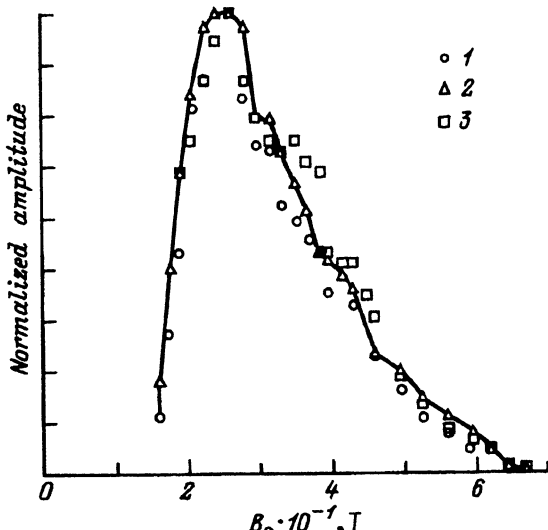


Рис. 1. Спектр ЭПР ионов  $\text{Yb}^{3+}$  в фосфатном стекле.

$T = 4.2 \text{ K}$ ;  $\nu = 9.4 \text{ GHz}$ ;  $x$  (mol.%):  
1 — 0.03 (образец I), 2 — 0.1 (образец II), 3 — (образец III).

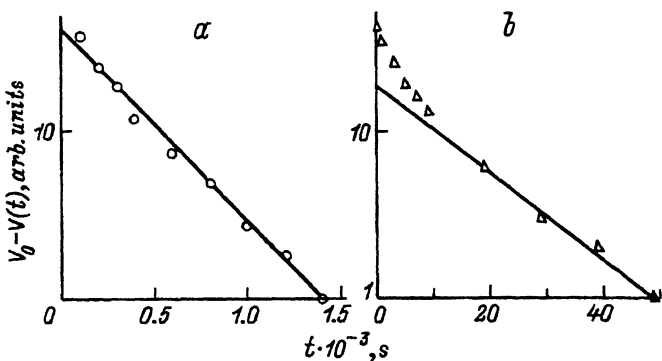


Рис. 2. Кинетики восстановления амплитуды ЭСЭ  $V_0 - V(t)$  после насыщающего импульса.

Прямая линия — зависимость  $V_0 - V(t) = V_0 \exp(-t/T_1)$ .  $a = 0.03 \text{ mol.}\%$  (образец I);  $T$  (К):  $a = 3.9$ ,  $b = 2.0$ .

пропорционально количеству окиси иттербия, вводимой в шихту. Ширина линии ЭПР  $\text{Yb}^{3+}$  соизмерима со значением величины магнитного поля, соответствующей максимуму интенсивности линии ЭПР.

Измерение времени СРР проводилось по известной методике [10], в которой перед парой импульсов, формирующих эхо, подается длинный СВЧ-импульс, насыщающий спин-систему. Длительность импульса устанавливалась такой, чтобы экспоненциальный хвост кривой восстановления намагниченности не изменялся при дальнейшем увеличении насыщающего импульса. При мощностях насыщающего импульса  $P \sim 50 \text{ mW}$  и  $1 \text{ W}$  его длительность составила  $2 \text{ ms}$  и  $200 \mu\text{s}$  соответственно.

Эксперименты показали, что кинетика восстановления амплитуды ЭСЭ после насыщающего импульса была неэкспоненциальна, времена СРР извлекались из экспоненциального хвоста. Однако в интервале температур, где доминируют рамановские процессы, релаксационная кривая была практически экспоненциальна. В области температур, где преобладают прямые процессы СРР, ее неэкспоненциальность была более существенна. На рис. 2 представлены типичные кинетики восстановления амплитуды ЭСЭ после насыщающего импульса. Температурные зависимости скорости СРР были измерены при двух значениях внешнего магнитного поля: на максимуме линии ЭПР при  $B_0 = 0.26 \text{ T}$  и на сильнополевом крыле при  $B_0 = 0.5 \text{ T}$ . Экспериментальные зависимости скорости СРР  $T_1^{-1}$  от температуры, концентрации и размера образцов представлены на рис. 3–5. Отметим следующие особенности полученных результатов.

Температурные зависимости скорости СРР  $T_1^{-1}$  при  $T > 4 \text{ K}$  для всех исследованных образцов (в пределах ошибки эксперимента) описываются рамановским процессом  $T_1^{-1} \sim T^9$ . На рис. 3 приведены температурные зависимости  $T_1^{-1}$  для образца I с наименьшей концентрацией ионов  $\text{Yb}^{3+}$  при двух значениях магнитного поля и для образца III с наибольшей концентрацией примесных ионов в поле  $B_0 = 0.5 \text{ T}$ . Прямая линия на рис. 3 — зависимость  $T_1^{-1} \sim T^9$ . При температурах  $T < 4.0 \text{ K}$  обнаружена зависимость  $T_1^{-1}$  от концентрации активатора и магнитного поля.

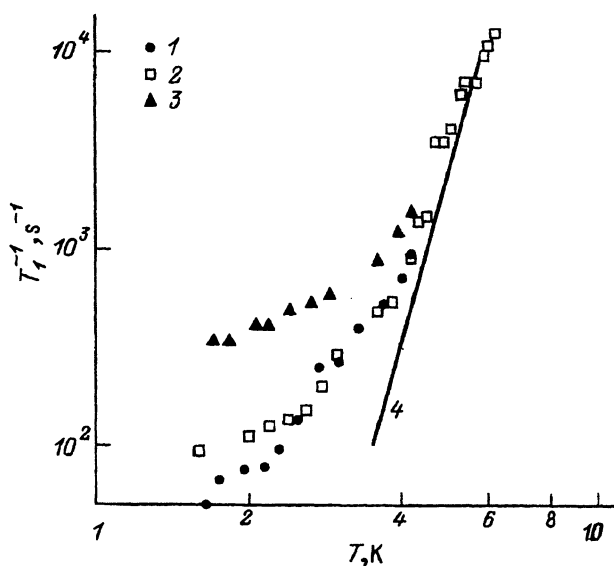


Рис. 3. Температурные зависимости скорости спин-решеточной релаксации ионов  $\text{Yb}^{3+}$  в фосфатном стекле.  
 $\nu = 9.4 \text{ GHz}$ ;  $x$  (mol.%) и  $B_0(T)$  соответственно: 1 — 0.03 (образец I) и 0.5, 2 — 0.03 (образец I) и 0.26, 3 — 0.3 (образец III) и 0.5, 4 — зависимость  $1/T_1 \sim T^3$ .

В области температур, где доминирует прямой процесс, исследована зависимость  $T_1^{-1}$  от размеров образца. Для этого образцы ФС I и III были вырезаны в виде прямоугольного параллелепипеда размером  $3 \times 2.6 \times 2.2 \text{ mm}$ . Затем последовательно стачивалась одна грань образца, перпендикулярная наименьшему размеру  $l$ . Размерная зависимость  $T_1^{-1}(l)$  проявляется при  $l$  меньше 0.5 mm. Результаты измерений представлены на рис. 4.

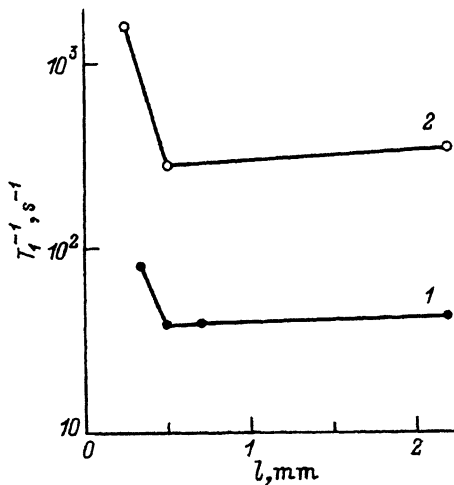


Рис. 4. Зависимость скорости спин-решеточной релаксации ионов  $\text{Yb}^{3+}$  в фосфатном стекле от размеров образца  $l$ .  
 $T = 1.65 \text{ K}$ ;  $B_0 \approx 0.5 \text{ T}$ ;  $\nu = 9.4 \text{ GHz}$ ;  
 $x$  (mol.%); 1 — 0.03 (образец I), 2 — 0.3 (образец III).

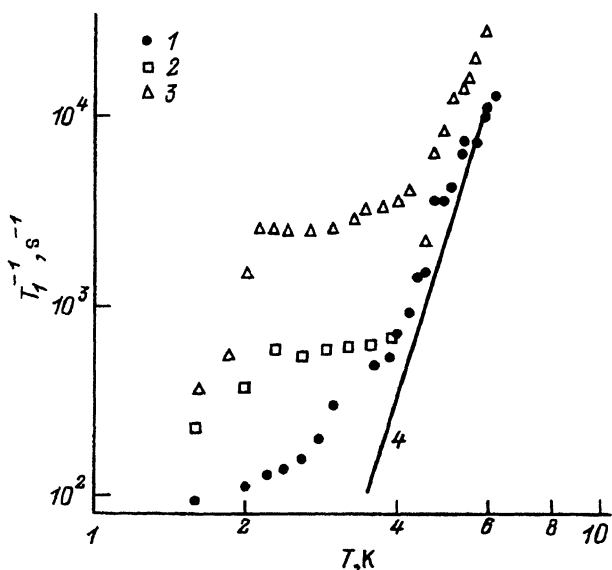


Рис. 5. Температурные зависимости скорости спин-решеточной релаксации ионов  $\text{Yb}^{3+}$  в фосфатном стекле.

$B_0 \approx 0.26 \text{ T}$ ;  $\nu = 9.4 \text{ GHz}$ ;  $x$  (mol.%): 1 — 0.03 (образец I), 2 — 0.1 (образец II), 3 — 0.3 (образец III), 4 — зависимость  $1/T_1 \sim T^9$ .

Для образцов II, III с большой концентрацией  $\text{Yb}^{3+}$  при  $B_0 = 0.26 \text{ T}$  и в узком диапазоне полей (несколько сотых теслы) в температурной зависимости  $T_1^{-1}$  наблюдается плато — температурно-независимый участок (рис. 5). Кроме того, скорость  $T_1^{-1}$  больше в образце с большей концентрацией активатора  $x$ . Совокупность полученных результатов позволяет предположить, что в области низких температур наблюдается резонансная кроссрелаксация.

С учетом изложенного температурная зависимость скорости  $T_1^{-1}$  при  $B_0 = 0.26 \text{ T}$  была интерпретирована в виде суммы трех вкладов

$$T_1^{-1} = AT + CT^9 + W(x), \quad (1)$$

где первое слагаемое — прямой, а второе — рамановский процессы, третье слагаемое описывает кроссрелаксационный процесс, зависящий от концентрации ионов  $\text{Yb}^{3+}$ . Кроссрелаксационный процесс обеспечивает перенос спинового возбуждения к быстрорелаксирующему центру (БЦ), который релаксирует непосредственно в решетку. Природа БЦ и функциональный вид  $W(x)$  обсуждаются далее.

## 2. Обсуждение результатов

а) Влияние локализованных колебаний, присущих стеклам, на СРР парамагнитной примеси может проявиться в том, что величина температуры Дебая  $\Theta_{\text{slr}}$ , извлекаемой из описания экспериментальных температурных зависимостей скорости СРР рамановского процесса, оказывается существенно меньше температуры Дебая  $\Theta_d$ , получаемой

стандартными методами. Аналогичное поведение  $\Theta_{slr}$  наблюдалось при исследованиях СРР в кристаллах [11–14]. В [11, 15] было показано, что экспериментально наблюдаемое соотношение  $\Theta_{slr} < \Theta_d$  связано с несоответствием реального фононного спектра дебаевскому. Причем  $\Theta_{slr}$  оказывалась различной для разных ионов в одной матрице и для одинаковых ионов, расположенных в разных узлах кристаллической решетки. Это дало основание считать, что  $\Theta_{slr}$  характеризует определенную часть реального фононного спектра кристалла, ответственную за взаимодействие с парамагнитными ионами.

В стеклах несоответствие плотности колебательного спектра дебаевскому известно и его особенность в диапазоне температур 3–15 К связывается с локализованными колебаниями. Для ФС величину температуры Дебая  $\Theta_d$  можно вычислить по формуле [16], используя измеренные значения скоростей звука в ФС [17]:  $v_l = 4.57 \cdot 10^3 \text{ m/s}$  (продольная) и  $v_t = 2.68 \cdot 10^3 \text{ m/s}$  (поперечная). Средняя скорость звука  $v_m$  может быть вычислена по формуле  $v_m = [1/3(2/v_t^3 + 1/v_l^3)]^{-1/3} = 2.97 \cdot 10^3 \text{ m/s}$ . В результате получим  $\Theta_d = 350 \text{ K}$ . Определить  $\Theta_{slr}$  для  $\text{Yb}^{3+}$  в ФС методом ЭСЭ не удалось из-за слишком коротких времен фазовой релаксации. Однако значение величины  $\Theta_{slr} = 160 \text{ K}$  для ФС, активированного  $\text{Yb}^{3+}$ , известно из результатов исследования температурной зависимости скорости СРР  $T_{1N}^{-1}$  ядер  $^{31}\text{P}$  [17]. Зависимость  $T_{1N}^{-1}$  от температуры определяется парамагнитной релаксацией ионов  $\text{Yb}^{3+}$  и имеет вид  $T_{1N}^{-1} \sim T^9(160/T)$ . Таким образом, для ФС активированного  $\text{Yb}^{3+}$ , реализуется соотношение  $\Theta_{slr} < \Theta_d$ . Мы предполагаем, что это неравенство обусловлено локализованными колебаниями, присущими стеклу.

Пример соотношения  $\Theta_{slr} < \Theta_d$  для стекол дает также работа [4]. При описании экспериментальных результатов для силикатного стекла, активированного иттербием, к виду  $T_1^{-1} \sim CT^9$ , в [4] получили  $\Theta_{slr} = 40 \text{ K}$ . Известно, что температура Дебая для этого стекла по разным оценкам и измерениям составляет от 312 до 475 К. Это позволяет предположить, что значительная часть спектра колебаний решетки в стекле, исследованном в [4], относится к локализованным возбуждениям.

b) Перейдем к анализу вклада кроссрелаксации в СРР, обозначенного  $W(x)$  в (1) и связанного с БЦ. Анализ экспериментальных результатов был проведен по методу, описанному в [18], для случая однородного распределения примесей. Модель СРР через БЦ вследствие кроссрелаксации изображена на рис. 6. Решение кинетических уравнений для рассматриваемой системы приводит к двум экспонентам в кривой восстановления сигнала ЭПР с характерными временами релаксации  $\tau_1$  и  $\tau_2$ . При  $N_1 \gg N_2$  [18]

$$\tau_1^{-1} \approx \frac{1}{T_1} + \frac{\frac{N_2}{N_1 T_{21}} \left( \frac{1}{T_1^*} - \frac{1}{T_1} \right)}{\frac{1}{T_{21}} + \frac{1}{T_1^*} - \frac{1}{T_1}}, \quad (2)$$

$$\tau_2^{-1} \approx \frac{1}{T_1^*} + \frac{1}{T_{21}}, \quad (3)$$

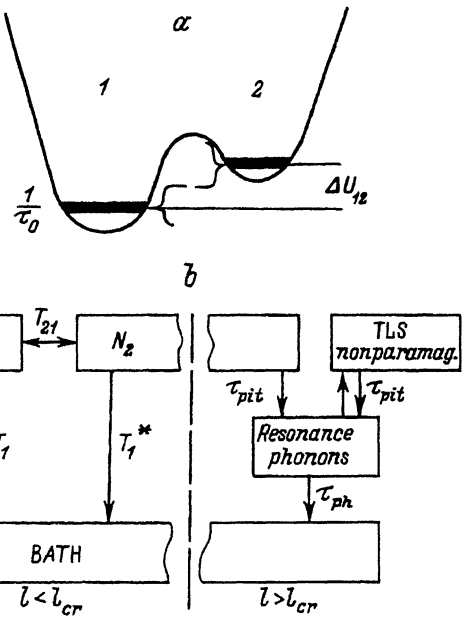


Рис. 6. Схема спин-решеточной релаксации ионов  $\text{Yb}^{3+}$  через БЦ вследствие кроссрелаксации.

В (2) и (3)  $N_1$  — количество основных ионов  $\text{Yb}^{3+}$  ( $N_1 = x$ ),  $N_2$  — количество БЦ;  $T_1$ ,  $T_1^*$  — времена CPP  $\text{Yb}^{3+}$  и БЦ соответственно;  $T_{21}$  — время кроссрелаксации. Формулы (2) и (3) приводят к весьма разнообразным температурным и концентрационным зависимостям скоростей CPP.

В частном случае (i) быстрой CPP БЦ, когда  $1/T_1^* \gg 1/T_{21} \gg N_1/N_2 T_1$ , тогда из (2) и (3) имеем  $\tau_1^{-1} \sim N_2/N_1 T_{21}$ , а  $\tau_2^{-1} \sim 1/T_1^*$ . Для этой ситуации характерны участки, где скорость CPP не зависит от температуры. Однако и для противоположного предела (ii) быстрой кроссрелаксации  $1/T_{21} \gg 1/T_1^* \gg 1/T_1$ , тогда из (2) и (3) имеем  $\tau_1^{-1} \sim N_2/N_1 T_1^*$ , а  $\tau_2^{-1} \sim 1/T_{21}$ . И здесь также возможна ситуация, когда скорость CPP не будет зависеть от температуры. Рассмотрим возможную природу этих процессов CPP и предлагаемую модель более подробно.

В качестве БЦ мы будем рассматривать локальный парамагнитный центр, обладающий многояймным потенциалом и туннелирующий между состояниями различных ям. В дальнейшем мы будем обсуждать случай локализованных в отдельных ямах состояний, что соответствует малости туннельного матричного элемента по сравнению с естественной шириной уровня  $1/\tau_0$ , либо по сравнению с расщеплением между однояймными состояниями  $\Delta U_{ij}$  во внутреннем случайном (дефектном) поле.

В [19–22] было показано, что в такой ситуации при приложении внешнего магнитного поля  $B_0$  возникает БЦ, а именно тогда, когда среднее зеемановское расщепление  $\beta B_0(g_1 + g_2)/2$ , где  $g_1, g_2$  —  $g$ -факторы спиновых состояний в потенциальных ямах 1 и 2, между которыми происходит туннельный переход, равно (с точностью до  $1/\tau_0$ ) соответствующей величине  $\Delta U_{12}$ . В этом случае состояния с различной проекцией спина и в различных ямах оказываются в резонансе. Если при-

нять во внимание спин-флип туннельные переходы (прежде всего вследствие спин-орбитального туннелирования [19]) между этими состояниями, возникает БЦ. Скорость СРР такого БЦ в ситуации узкого горла на туннельных переходах представляется в виде [19–22]

$$\frac{1}{T_1^*} = \frac{|\lambda'|^2}{\frac{1}{\tau_0} + (\Delta U - \frac{g_1+g_2}{2}\beta B_0)^2 \tau_0}. \quad (4)$$

Здесь  $\lambda'$  — туннельный матричный элемент для перехода с изменением спинового состояния. Величина  $1/\tau_0$  в ситуации парамагнитной системы состоит из двух вкладов [22]

$$\frac{1}{\tau_0} = \frac{1}{\tau_{ph}} + \frac{1}{\tau_{ss}}, \quad (5)$$

где  $1/\tau_{ph}$  связано с упругим рассеянием фононов на одноядмых состояниях (что, в частности, приводит к  $1/\tau_{ph} \sim T^7$ ),  $1/\tau_{ss}$  связано со спин-спиновой кроссрелаксацией. В рассматриваемой ситуации немалой концентрации парамагнитных центров (когда  $1/\tau_{ss}$  достаточно велико) и низких температур (когда  $1/\tau_{ph}$  достаточно мало) выполняется неравенство

$$\frac{1}{\tau_{ss}} \gg \frac{1}{\tau_{ph}}, \quad (6)$$

что в резонансной ситуации  $\Delta U \approx (g_1 + g_2)B_0\beta/2$  приводит к

$$\frac{1}{T_1^*} \cong |\lambda'|^2 \tau_{ss}. \quad (7)$$

Из (7) следует, что  $1/\tau_1^*$  обладает слабой температурной зависимостью и падает с ростом концентрации парамагнитных центров.

Дальнейшее рассмотрение требует выделения двух возможных случаев реализации туннелирующих БЦ в стекле. Во-первых, когда БЦ сформирован парамагнитным туннелирующим центром, не связанным с парамагнитной примесью  $\text{Yb}^{3+}$  (например, оборванными связями). Во-вторых, когда БЦ представляет собой парамагнитную примесь  $\text{Yb}^{3+}$ , находящуюся вблизи двухуровневой туннелирующей системы в стекле.

Если  $\tilde{g}(\Delta U)$  — функция распределения расщеплений энергий одноядмых состояний в стекле, то в первом случае число БЦ обладает концентрационной и магнитополевой зависимостями

$$N_2 \sim \frac{1}{\tau_{ss}(x)} \tilde{g} \left( \frac{(g_1 + g_2)}{2} \beta B_0 \right), \quad (8)$$

в то время как во втором случае

$$N_2 \sim \frac{x}{\tau_{ss}(x)} \tilde{g} \left( \frac{(g_1 + g_2)}{2} \beta B_0 \right). \quad (9)$$

В результате в первом случае для предела (i),  $1/T_1^* \gg 1/T_{21}$ , как следует из (2)–(4), (7), имеем

$$\frac{1}{\tau_1} \sim \frac{1}{x} \left( \frac{1}{\tau_{ss}(x)} \right)^2 \tilde{g} \left( \frac{(g_1 + g_2)}{2} \beta B_0 \right), \quad (10)$$

$$\frac{1}{\tau_2} \approx |\lambda'|^2 \tau_{ss}(x), \quad (11)$$

в то время как для второго случая

$$\frac{1}{\tau_1} \sim \left( \frac{1}{\tau_{ss}(x)} \right)^2 \tilde{g} \left( \frac{(g_1 + g_2)}{2} \beta B_0 \right), \quad (12)$$

$$\frac{1}{\tau_2} \approx |\lambda'|^2 \tau_{ss}(x). \quad (13)$$

В пределе же быстрой спин-спиновой кроссрелаксации (*ii*),  $1/T_{21} \gg \gg 1/T_1^*$ , получаем иные зависимости. Так, в первом случае, как следует из (2)–(4), (7), имеем

$$\frac{1}{\tau_1} \sim \frac{|\lambda'|^2}{x} \tilde{g} \left( \frac{(g_1 + g_2)}{2} \beta B_0 \right), \quad (14)$$

$$\frac{1}{\tau_2} \approx \frac{1}{\tau_{ss}(x)}, \quad (15)$$

в то время как для второго случая

$$\frac{1}{\tau_1} \sim |\lambda'|^2 \tilde{g} \left( \frac{(g_1 + g_2)}{2} \beta B_0 \right), \quad (16)$$

$$\frac{1}{\tau_2} \approx \frac{1}{\tau_{ss}(x)}. \quad (17)$$

В дальнейшем мы будем рассматривать гауссово распределение  $\tilde{g}(\Delta U)$ . Это соответствует, в частности, случаю сильной корреляции между туннелирующими центрами, однако, в ситуации, когда температура образца выше температуры перехода  $T_g$  в фазу псевдоспинового ориентационного стекла. Особенности  $\tilde{g}(\Delta U)$  в области  $T < T_g$  и соответствующее изменение СРР будут обсуждаться в дальнейшем. Но по крайней мере для  $T \geq T_g$  (где  $T_g \cong 1.5$  К, как будет показано далее) использование гауссиана как модельной функции распределения по  $\Delta U$  в рассматриваемом случае представляется оправданным. В результате имеем

$$\tilde{g} \left( \frac{(g_1 + g_2)}{2} \beta B_0 \right) = \frac{1}{\sqrt{2\pi}\sigma} \exp - \left( \frac{\left( \frac{(g_1 + g_2)}{2} \beta B_0 \right)^2}{2\sigma^2} \right), \quad (18)$$

где второй момент функции распределения  $\sigma$  может быть в нашем случае представлен в виде  $\sigma = 0.5(\alpha + \beta x)$ . Последнее слагаемое в этом выражении описывает уширение, индуцированное примесью  $\text{Yb}^{3+}$ .

Основные черты поведения кроссрелаксационной части СРР, которые мы будем использовать при анализе, состоят в следующем: 1) существование температурно-независимых участков в  $1/T_1(T)$ ; 2) достаточно большая величина  $1/T_1$  на этих участках; 3) заметное ускорение СРР с ростом концентрации; 4) существенное замедление СРР в этой области при переходе на высокополевое крыло линии ЭПР, где магнитное поле примерно в два раза выше, чем в центре линии (наблюдавшееся аналогичное поведение СРР при переходе на низкополевое

крыло линии ЭПР может быть связано с вкладами от других центров и не будет анализироваться в рамках предлагаемой здесь простой модели). С учетом этих экспериментальных фактов и предыдущего анализа мы приходим к выводу о том, что, хотя факты существования температурно-независимого ускорения CPP и замедления CPP с ростом магнитного поля могут быть объяснены во всех четырех рассмотренных выше пределах, концентрационная зависимость  $1/\tau_1$  позволяет оставить для дальнейшего согласования и сравнения с экспериментом лишь два из них, а именно первый случай в пределе (i) сильного БЦ, когда

$$\frac{1}{\tau_1} \sim \frac{x}{\sqrt{\alpha + \beta x}} \exp - \left( \frac{\left(\frac{g_1+g_2}{2}\beta B_0\right)^2}{\alpha + \beta x} \right), \quad (19)$$

$$\frac{1}{\tau_2} \sim \frac{1}{x}, \quad (20)$$

и второй случай в пределе (ii) быстрой спин-спиновой кроссрелаксации

$$\frac{1}{\tau_1} \sim \frac{1}{\sqrt{\alpha + \beta x}} \exp - \left( \frac{\left(\frac{g_1+g_2}{2}\beta B_0\right)^2}{\alpha + \beta x} \right), \quad (21)$$

$$\frac{1}{\tau_2} \sim x. \quad (22)$$

Здесь мы учитывали, что  $1/\tau_{ss} \sim x$ . Результаты эксперимента по исследованию  $1/\tau_1(x, B_0)$ -зависимостей находят объяснение на основе (19) при  $\alpha = (1.1 \pm 0.3) \cdot 10^{-47}$ ,  $\beta = (3.7 \pm 0.5) \cdot 10^{-66}$  и на основе (21) при  $\alpha = (7.0 \pm 0.3) \cdot 10^{-48}$ ,  $\beta = (2.1 \pm 0.5) \cdot 10^{-66}$ . Выбор между этими двумя ситуациями может быть сделан на основе сравнения поведения  $1/\tau_2(x)$  на эксперименте и модельными предельными выражениями (20) и (22) для  $1/\tau_2(x)$ , которые указывают на противоположный характер зависимости  $1/\tau_2(x)$  в этих двух случаях. Эксперимент показал безусловное возрастание  $1/\tau_2(x)$  с ростом  $x$ , причем по закону, соответствующему  $1/\tau_2(x) \sim x$  в пределах ошибки эксперимента (при  $x = 0.3 \text{ mol.}\%$  величина  $1/\tau_2(x) = 6.45 \cdot 10^3 \text{ s}^{-1}$ , в то время как при  $x = 0.1 \text{ mol.}\%$  величина  $1/\tau_2(x) = 1.9 \cdot 10^3 \text{ s}^{-1}$ ). Это указывает на реализацию предела (ii) быстрой спин-спиновой релаксации, когда узкое горло всего процесса CPP определяется БЦ. При этом БЦ являются ионы  $\text{Yb}^{3+}$ , находящиеся вблизи двухуровневых туннелирующих систем в стекле.

Рассматриваемая модель позволяет также объяснить и резкое уменьшение скорости CPP при  $T \leq 1.5 \text{ K}$ . Это обстоятельство может быть связано с тем, что двухуровневые туннелирующие системы (концентрация которых может существенно превышать концентрацию парамагнитных центров  $\text{Yb}^{3+}$ ) эффективно взаимодействуют друг с другом вследствие косвенного взаимодействия через поле акустических фононов [23, 24]. Поэтому при понижении температуры возможна реализация переколяционного фазового перехода, в результате которого система туннелирующих псевдоспинов оказывается в фазе ориентационного стекла. Оценки показывают, что для разумной концентрации двухуровневых туннелирующих систем порядка  $x \sim 0.1\%$  и величины

равновесных искажений в области их локализации порядка  $\sim 0.5 \text{ \AA}$ , величина температуры перехода в фазу ориентационного псевдоспинового стекла  $T_g$  оказывается порядка нескольких градусов Кельвина. Последнее прекрасно согласуется с предположением, что в исследуемом случае  $T_g \cong 1.5 \text{ K}$ . Именно это предположение позволяет объяснить резкое замедление CPP при  $T \leq 1.5 \text{ K}$ .

Действительно, в фазе ориентационного псевдоспинового стекла функция распределения  $\tilde{g}(\Delta U)$  имеет резкий провал и минимум при  $\Delta U \approx 0$ . Это связано с появлением ближнего порядка в системе псевдоспинов вследствие корреляции их ориентаций. В результате актуальные для эффекта БЦ значения  $\Delta U = \frac{g_1+g_2}{2} \beta B_0$ , при используемых магнитных полях порядка 0.5 Т вследствие своей относительной малости оказываются в области этого провала  $\tilde{g}(\Delta U)$ . Последнее резко уменьшает число БЦ при  $T \leq T_g = 1.5 \text{ K}$ , а тем самым и скорость CPP при  $T \leq 1.5 \text{ K}$ .

с) Неожиданный размерный эффект наблюдался в области температур, соответствующих области доминирования прямого процесса CPP (рис. 4). Естественно предположить, что обнаруженный критический размер  $l \approx 0.5 \text{ mm}$ , который является пороговым для проявления размерного эффекта, связан с характеристическими временами установления равновесия в колебательной системе стекла. С другой стороны, необходимо выделить три колебательные подсистемы в стекле, участвующие в процессе низкотемпературной CPP. Это (*j*) термостат тепловых фононов, (*jj*) система резонансных фононов и (*jjj*) двухуровневые туннелирующие системы, в спектре которых содержатся энергетические зазоры, резонансные с ЭПР-квантом и являющиеся БЦ (т.е. вблизи которых нет ионов  $\text{Yb}^{3+}$ ). Рассмотрим в связи с этим более подробно процесс CPP БЦ, который является доминирующим в нашем случае.

Собственно процесс спин-фононной релаксации БЦ состоит из двух последовательных процессов: резонансного спин-флип туннелирования (со скоростью  $1/T_1^*$ ) и фононно-индукционного туннелирования (ФИТ) на частоте ЭПР-кванта, которое происходит с сохранением спинового состояния. При этом скорость последнего  $1/\tau_{\text{pit}}$  определяет не только скорость рождения резонансных фононов, но и скорость поглощения резонансного фона на двухуровневой туннелирующей системой (не связанной с ионом  $\text{Yb}^{3+}$ ) и его последующего переизлучения ею, в результате чего двухуровневые туннелирующие системы участвуют в эффекте пленения резонансного фона. Наконец, третьим важным параметром задачи является скорость  $1/\tau_{\text{ph}}$  установления термодинамического равновесия длинноволновых фононов, которая при рассматриваемых низких температурах определяется рассеянием на поверхности образца и ангармоническими процессами соответственно

$$\frac{1}{\tau_{\text{ph}}} = \frac{1}{\tau_{\text{ph}}^{(1)}} + \frac{1}{\tau_{\text{ph}}^{(a)}}. \quad (23)$$

Первое слагаемое в (23) может быть представлено в виде  $\frac{1}{\tau_{\text{ph}}^{(1)}} \approx \left(\frac{l}{v}\right)^{-1}$ , где  $v$  — скорость звука,  $l$  — длина образца. Важным обстоятельством является то, что узким горлом в CPP БЦ является резонанс-

ное спин-флип туннелирование, что прямо следует из характера температурной зависимости СРР. Это означает, что  $1/\tau_{\text{pit}} > 1/T_1^*$ ,  $1/\tau_{\text{ph}} > 1/T_1^*$ . Однако возникающие в результате ФИТ БЦ резонансные фононы обладают замедленной результирующей скоростью передачи своей энергии в термостат тепловых фононов за счет эффекта пленения резонансных фононов двухуровневыми туннелиирующими системами. Это приводит к результирующей скорости СРР БЦ в виде

$$\frac{1}{\tau_1^*} = \frac{1}{T_1^*} \left( \frac{\frac{1}{\tau_{\text{ph}}}}{\frac{1}{\tau_{\text{ph}}} + \frac{1}{\tau_{\text{pit}}}} \right), \quad (24)$$

где второй сомножитель связан с эффектом пленения резонансных фононов и обладает весьма слабой температурной зависимостью. Действительно,  $1/\tau_{\text{pit}}$  резонансных фононов не зависит от температуры, а в уравнении (23) для  $1/\tau_{\text{ph}}$  от температуры зависит лишь  $1/\tau_{\text{ph}}^{(a)} \sim T$  для актуального ангармонического процесса третьего порядка. Схема СРР БЦ представлена на рис. 6. Отметим, что (24) сводится к (4) при  $1/\tau_{\text{ph}} \gg 1/\tau_{\text{pit}}$ , т.е. для достаточно быстрого установления термодинамического равновесия в фононной системе.

Из (23), (24) прямо следует, что для достаточно больших образцов, когда  $v_l < 1/\tau_{\text{ph}}^{(a)}$ , зависимость  $1/\tau_1^*(l)$  можно пренебречь. Однако при достижении критического значения  $l = l_{\text{cr}}$ , где

$$l_{\text{cr}} = v \tau_{\text{ph}}^{(a)}, \quad (25)$$

возникает быстрое возрастание  $1/\tau_1^*$  при уменьшении  $l$  вплоть до величины  $1/T_1^*$ . В рассматриваемом нами случае следует полагать, что величина  $l_{\text{cr}} \approx 0.5 \text{ mm}$ . Это приводит к разумному значению  $1/\tau_{\text{ph}}^{(a)} \approx 0.46 \cdot 10^7 \text{ Hz}$  при  $T = 1.6 \text{ K}$ . Таким образом, наблюдаемая на эксперименте размерная зависимость скорости СРР может быть связана с эффектом пленения резонансных фононов двухуровневыми туннелиирующими системами, который конкурирует с процессом термализации тепловых фононов.

В заключение отметим, что хотя при  $l < l_{\text{cr}}$  становится существенным механизм рассеяния фононов на границах образца, однако фононы испытывают и рассеяние в процессе движения к стенкам. Действительно, в случае баллистического режима время жизни фононов  $T_{\text{ph}}$ , определяющее время СРР в условиях фононного горла, было бы  $T_{\text{ph}} \approx l_{\text{cr}}/v \approx 2 \cdot 10^{-7} \text{ s}^{-1}$ . На опыте же  $T_{\text{ph}} \sim T_1 \approx 10^{-3} \text{ s}$ . Если предположить рэлеевский механизм рассеяния фононов, то представляется возможным оценить максимальный размер неоднородности. Для механизма Рэлея длина волны фона  $\lambda_{\text{ph}}$  должна быть много больше размера дефекта  $\delta$ . В нашем случае  $\lambda_{\text{ph}} \approx v/v \approx 300 \text{ nm}$  ( $v \approx 10^{10} \text{ s}^{-1}$ ), т.е.  $\delta \ll 300 \text{ nm}$ . То, что размер дефектов в этом стекле существенно меньше 300 nm, подтверждают и наши опыты с тепловыми импульсами [25, 26]. В этих экспериментах методом ЭПР было зарегистрировано диффузное распространение фононов энергией  $E \sim (7-50) \text{ cm}^{-1}$  со скоростью  $\sim 1.0 \text{ m/s}$  в ФС с примесью  $\text{Er}^{3+}$ . Величина энергии фононов

$E \sim (7-50) \text{ cm}^{-1}$  получена нами на основании оптических измерений энергии и ширины нижайших возбужденных уровней ионов  $\text{Er}^{3+}$  в ФС [27], а также оценки энергий фононов в тепловом импульсе. Длина волны фона с  $E \approx 10 \text{ cm}^{-1}$ ,  $\lambda_{\text{ph}} \approx 10 \text{ nm}$ . Таким образом, размеры дефекта могут быть порядка единиц нм. Размеры микронеоднородности в исследованных стеклах согласуются с результатами [1].

Работа выполнена при финансовой поддержке Российского фонда фундаментальных исследований (проект 94-02-04884-а).

### Список литературы

- [1] Малиновский В.К., Новиков В.Н., Соколов А.П. УФН **163**, 5, 117 (1993).
- [2] Alexander S., Entin-Wohlman Ora, Orbach R. Phys. Rev. **B32**, 10, 6447 (1985).
- [3] Alexander S., Entin-Wohlman Ora, Orbach R. Phys. Rev. **B33**, 6, 3935 (1986).
- [4] Stevens S.B., Stapleton H.J. Phys. Rev. **B42**, 16, 9794 (1990).
- [5] Bouhacina T., Ablart G., Pescia J. Solid State Commun. **78**, 7, 573 (1991).
- [6] Smith D.L., Stapleton H.J., Weissman M.B. Phys. Rev. **B33**, 11, 7417 (1986).
- [7] Антипин А.А., Кочелаев Б.И., Шленкин В.И. Письма в ЖЭТФ **39**, 4, 155 (1984).
- [8] Robinson C.C., Fournier J.T. J. Phys. Chem. Sol. **31**, 7, 895 (1970).
- [9] Антипин А.А., Орлинский С.Б., Шленкин В.И. ФТТ **29**, 5, 1587 (1987).
- [10] Куркин И.Н., Цветков Е.А., Чиркин Ю.К., Шленкин В.И. ФТТ **19**, 4, 1211 (1977).
- [11] Вихнин В.С., Зарицкий И.М., Кончиц А.А., Круликовский Б.К. ФТТ **17**, 12, 3609 (1975).
- [12] Братусь В.Я., Вихнин В.С., Зарицкий И.М., Пекарь Г.С., Шанина Б.Д. ФТТ **20**, 7, 2066 (1978).
- [13] Куркин И.Н., Цветков Е.А., Чернов К.П., Чиркин Ю.К. ФТТ **18**, 9, 2731 (1976).
- [14] Куркин И.Н., Цветков Е.А. ФТТ **20**, 5, 1511 (1978).
- [15] Куркин И.Н., Чернов К.П. Парамагнитный резонанс. Казань (1992). В. 25. С. 20-28.
- [16] Anderson O. Physical Acoustics / Ed. W. Mason N.Y.-London (1965). V. 3, Pt B.
- [17] Charachash'yan G.E. Proc. XV Int. Congress on Glass. Leningrad (1989). V. 1b. P. 141-144.
- [18] Schulz M.B., Jeffries C.D. Phys. Rev. **149**, 1, 270 (1966).
- [19] Вихнин В.С. ФТТ **20**, 5, 1340 (1978).
- [20] Брик А.Б., Вихнин В.С. ФТТ **28**, 4, 820 (1986).
- [21] Vikhnin V.S., Sochava L.S. A.F.Ioffe Physical Technical Institute. Preprint N 1539. Leningrad (1991).
- [22] Vikhnin V.S. Defects in Insulating Materials. Proc. XIII Int. Conf. Nardkirchen/Ed. O.Kanert and J.M.Spaeth. Germany (August 16-22, 1992). V. 1. P. 648-650.
- [23] Кочелаев Б.И. Парамагнитный резонанс. Казань (1964). В. 25. С. 78-97.
- [24] Аминов Л.К., Кочелаев Б.И. ЖЭТФ **42**, 1303 (1962).
- [25] Альтшуллер С.А., Антипин А.А., Рахматуллин Р.М., Розенцвайг Ю.К., Федий А.А., Шленкин В.И. Письма в ЖЭТФ **33**, 12, 633 (1981).
- [26] Антипин А.А., Громов И.А., Рахматуллин Р.М., Розенцвайг Ю.К. IX Всесоюз. симпозиум по спектроскопии кристаллов, активированных ионами редкоземельных и переходных металлов. Тез. докл. Л. (1990). С. 119.
- [27] Лазерные фосфатные стекла / Н.Е. Алексеев, В.П. Гапонцев, М.Е. Жаботинский. М. (1980). 352 с.